

## АНАЛИЗ КОНТУРНОГО СТРОЕНИЯ МЕХАНИЗМОВ

Д.П.Дрягин, доц.

Работоспособность и надежность механизмов удается повысить в случае оптимизации их структуры. Механизмы с оптимальной структурой имеют более высокий КПД, к ним предъявляются пониженные требования по точности [1-3].

Формулирование закона строения механизмов позволяет разработать общий метод синтеза механизмов, отвечающий критериям оптимальности:

кинематические цепи механизмов произвольной структуры состоят из контуров нулевого, первого и второго классов.

В механизме число контуров нулевого класса  $n_0 = 1$ , число контуров первого класса

$$n_I \geq 1, \text{ число контуров второго класса } n_{II} \geq 0.$$

Контур нулевого класса – звено (твердое тело в составе механизма), принимаемое за неподвижное, с одним или несколькими местами присоединения свободных элементов кинематических пар подвижных звеньев.

Контур первого класса – подвижное звено механизма с одной кинематической парой, имеющей свободный элемент, и с одним или несколькими местами присоединения свободных элементов кинематических пар других подвижных звеньев.

Контур второго класса – подвижное звено механизма с двумя кинематическими парами, каждая из которых имеет свободный элемент, и с одним или несколькими местами присоединения свободных элементов кинематических пар других подвижных звеньев или без мест присоединения свободных элементов.

Для механизма имеем (доказательство закона строения механизмов в статье не приводится):

$$\left. \begin{array}{l} n_0 = 1, \\ n_I = 2n - p_\Sigma, \\ n_{II} = p_\Sigma - n, \end{array} \right\} \quad (1)$$

где  $p_\Sigma$  – число кинематических пар,  $n$  – число подвижных звеньев механизма.

Формулы (1) применимы для всех видов (классов) кинематических пар и соединений (аналогов кинематических пар) механизмов произвольной структуры: как плоских, так и пространственных.

В механизме с одним подвижным звеном и одной кинематической парой число контуров первого класса  $n_I = 2n - p_\Sigma = 2 \times 1 - 1 = 1$ , число контуров второго класса  $n_{II} = p_\Sigma - n = 1 - 1 = 0$ . Структурный состав такого механизма  $n_0 = 1; n_I = 1$  (рис.1):



Рисунок 1 - Строение механизма с одним подвижным звеном

Места присоединения свободных элементов кинематических пар на контурах 1-0 и 2-I условно показаны контрастными точками. Кинематическая пара A, изображенная на рис.1 как одноподвижная вращательная пятого класса, может быть заменена на двух-, трех-, пятиподвижную пару.

При двух подвижных звеньях возможны два варианта построения механизмов. По первому варианту в механизм может входить две кинематические пары. В этом случае  $n=2$ ,  $p_S=2$ ;  $n_I=2 \times 2 - 2 = 2$ ,  $n_{II}=2 - 2 = 0$ .

Условие замыкания свободных элементов кинематических пар на сопрягаемых звеньях-контурах приводит к заключению, что цепи, составленные из контура нулевого класса и контуров первого класса, — незамкнутые (рис.2):

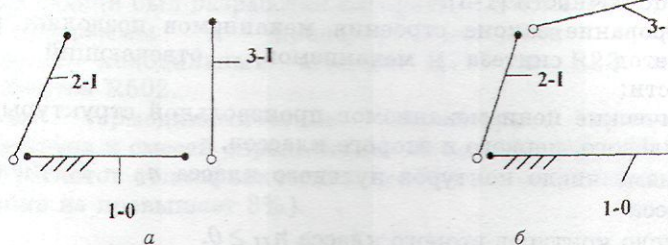


Рисунок 2 - Строение механизмов с двумя контурами первого класса

По второму варианту при двух подвижных звеньях в цепь может входить три кинематические пары. В этом случае  $n_I=2 \times 2 - 3 = 1$ ,  $n_{II}=3 - 2 = 1$ . Цепь, составленная из контура нулевого класса, контура первого класса и контура второго класса, при одноподвижных парах является фермой (рис.3а), но если ввести одну высшую пару с незамыкаемыми элементами, получим зубчатые (или кулачковые) механизмы (рис.3б):

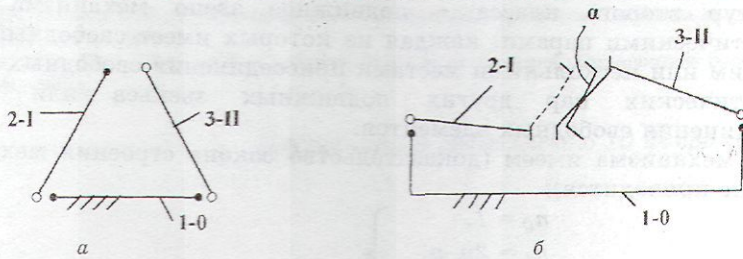


Рисунок 3

На рис.3б место присоединения свободного элемента  $\alpha$  высшей пары, входящей в состав контура второго класса 3-II, в контуре 2-I отмечено штриховой линией.

При трёх подвижных звеньях также возможны два варианта строения механизмов с незамкнутыми цепями, если число пар равно трем, и с замкнутыми цепями, если число пар равно четырем.

При  $n=3$  и  $p_S=3$  имеем  $n_I=2 \times 3 - 3 = 3$ ,  $n_{II}=3 - 3 = 0$ . Возможные варианты механизмов показаны на рис.4.

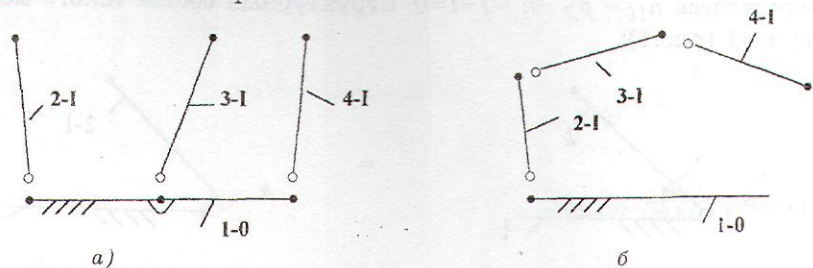


Рисунок 4

При  $n=3$  и  $p_2=4$  получается  $n_I=2 \times 3 - 4 = 2$ ,  $n_{II}=4 - 3 = 1$ . На рис.5 показана схема четырехзвенного механизма, отвечающая условию  $n_I=2$  и  $n_{II}=1$ .

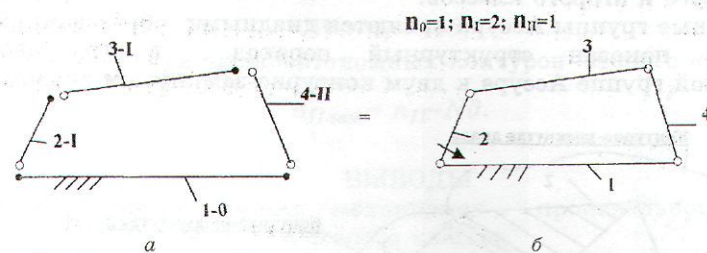


Рисунок 5 - Четырехзвенный механизм с двумя контурами первого и одним контуром второго класса

Отметим, что закон строения механизмов позволяет применение переместительного закона, в соответствии с которым контуром второго класса может быть звено 3 (контуры первого класса—звенья 1 и 4) или звено 2 (контуры первого класса—звенья 3 и 4).

Двухзвенные и многозвенные группы Ассура подчиняются закону строения механизмов и состоят из контуров первого и второго классов.

Для группы Ассура второго класса (диады) число подвижных звеньев  $n=2$ , число одноподвижных пар пятого класса  $p_1=3$ . В этом случае  $n_I=2n-p_1=2 \times 2 - 3 = 1$ ,  $n_{II}=p_1-n=3-2=1$ .

Контурное строение диады показано на рис.6.

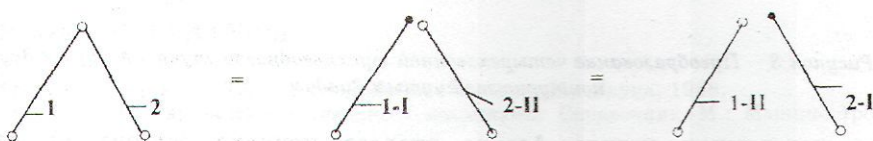


Рисунок 6 - Контурное строение диады

В четырехзвенных группах Ассура  $n=4$ ,  $p_1=6$ . Для этих групп  $n_I=2n-p_1=2 \times 4 - 6 = 2$ ;  $n_{II}=p_1-n=6-4=2$ . Два варианта разложения такой группы на контуры I и II классов показаны на рис.7.

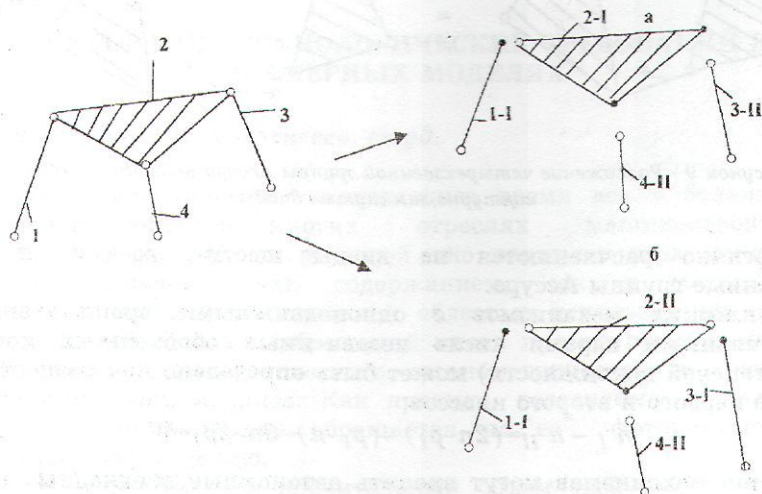


Рисунок 7 - Разложение четырехзвенной группы Ассура третьего порядка на контуры первого и второго классов

Используя переместительный закон, можно получить ещё четыре варианта разложения четырехзвенной трехпроводковой группы Ассура на контуры первого и второго классов.

Многозвенные группы Ассура являются диадными образованиями.

На рис.8 показан структурный переход в трехпроводковой четырехзвенной группе Ассура к двум контурно-замкнутым диадам.

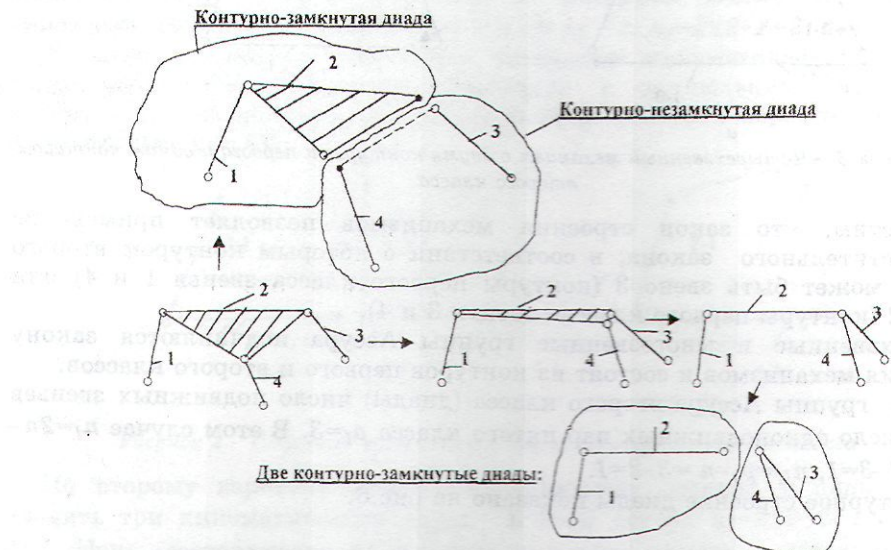


Рисунок 8 - Преобразование четырехзвенной трехпроводковой группы Ассура к двум контурно-замкнутым диадам

Четырехзвенная группа Ассура второго порядка состоит из двух контурно-замкнутых диад (рис.9):

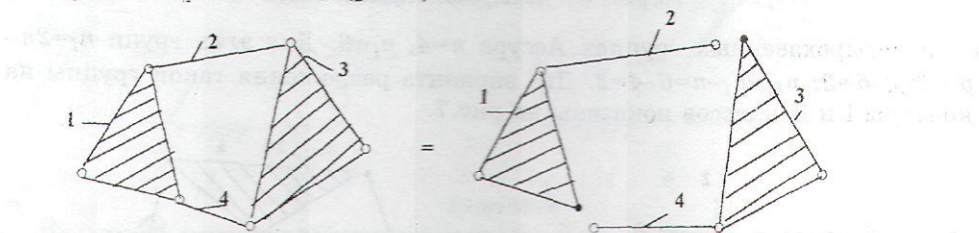


Рисунок 9 - Разложение четырехзвенной группы Ассура второго порядка на две контурно-замкнутые диады

Аналогично расчленяются на диады шести-, восьми- и другие многозвенные группы Ассура.

Для плоских механизмов с одноподвижными вращательными и поступательными парами число независимых обобщенных координат (число степеней подвижности) может быть определено как разность числа контуров первого и второго классов:

$$n_I - n_{II} = (2n - p_1) - (p_1 - n) = 3n - 2p_1 = W. \quad (2)$$

В состав механизмов могут входить автономные внедиадные контуры второго класса, вводимые с целью создания параллельных потоков передачи движения.

С учетом наличия автономных контуров второго класса ( $n_{IIавт} > 0$ ) число общих и местных степеней подвижности механизма определяется по формуле

$$W = n_I - N\delta, \quad (3)$$

где  $N\delta$  - число диад, а число автономных контуров второго класса равно

$$n_{IIавт} = n_{II} - N\delta. \quad (4)$$

### ВЫВОДЫ

Цепи подвижных звеньев механизмов произвольной структуры состоят из контуров первого и второго классов.

Многозвенные группы Ассура являются диадными структурными образованиями.

Контуры первого класса, не входящие в диады, определяют число общих и местных степеней свободы механизма.

Контуры второго класса, не входящие в диады и не образующие с внедиадными контурами первого класса диады, являются автономными.

### SUMMARY

*Analysis sidebar construction mechanism is based on the authors law of construction. Polysections Assur's groups, consist only form first and second classes sidebars, but incomplete manipulator chains - from first class sidebars, show that new formulas for the determinations of number of degrees of mobility and numbers autonomous second class sidebars of flat mechanisms was received.*

### СПИСОК ЛИТЕРАТУРЫ

1. Артоболевский И. И. Теория механизмов и машин. -М.: Наука, 1988.
2. Решетов Л.Н. Самоустанавливающиеся механизмы: Справочник.-М.: Машиностроение, 1991.
3. Крейнин Г. В., Бессонов А. П. и др. Кинематика, динамика и точность механизмов: Справочник.. М.: Машиностроение, 1984.

*Поступила в редакцию 19 марта 1999 г.*

УДК 621.941

### КОДИРОВАНИЕ ТЕХНОЛОГИЧЕСКИХ ТРЕБОВАНИЙ В ТРЕХМЕРНЫХ МОДЕЛЯХ

*А.Н.Алексеев, доц.; Н.А.Алексеев, студ.*

Трехмерное моделирование в последнее время все в большей мере находит применение во многих отраслях машиностроительного производства. В каждой из отраслей оно занимает свою нишу, и ее заполнение отличается как содержанием, так и масштабностью применения. Наиболее традиционной областью использования является моделирование объемных изображений вновь проектируемых изделий с целью их дальнейшего эстетического, эргонометрического и конструкторско-технологического анализа. Как правило, независимо от назначения модели, основное внимание обращается на ее фотoreалистическое подобие реальному изделию.

В то же время имеется значительный объем задач конструкторско-технологического анализа, где на первый план выступает не фотoreалистичность модели, а возможность наиболее полно выразить уровень технологических требований, предъявляемых конструктором к создаваемому изделию. К сожалению, для трехмерных моделей не существуют разрабо-